

مقایسهٔ نشانگرهای سطحی CD14 و CD44 در سلول‌های بنیادی مشتق از چربی و سلول‌های کنдрوسیت تمایز یافته طی فرایند کندروژن

روناک زارعی^۱, دکتر بتول هاشمی بنی^۲, دکتر ابراهیم اسفندیاری^۳, دکتر علی والیانی^۴, فریبهرز کیانپور^۵, مریم علی‌اکبری^۶

مقاله پژوهشی

چکیده

مقدمه: امروزه به صورت گسترده‌ای از سلول‌های بنیادی مشتق از چربی (Adipose tissue-derived stem cells) یا ADSCs یا روناک زارعی^۱, دکتر بتول هاشمی بنی^۲, دکتر ابراهیم اسفندیاری^۳, دکتر علی والیانی^۴, فریبهرز کیانپور^۵, مریم علی‌اکبری^۶ بافت غضروف استفاده می‌شود. بیشتر مطالعاتی که تاکنون در این زمینه انجام شده است، پیرامون داربست‌ها، عوامل رشد و روش‌های تحریک مکانیکی بوده است و مطالعات کمی در زمینهٔ تغییرات نشانگرهای سطحی طی کندروژن انجام شده است. بر این اساس، هدف تحقیق حاضر بررسی تغییرات نشانگرهای سطحی CD14 و CD44 طی فرایند کندروژن است.

روش‌ها: بافت چربی زیر جلدی انسانی از سر تجاوز ناگفته از تأثیر آنزیم کلائناز تجزیه و سلول‌های بنیادی کشت داده شدند. سلول‌های پاساژ دوم جهت بررسی نشانگرهای سطحی CD14 و CD44 به وسیلهٔ نانو-آنتی‌بیوتیک مورد استفاده قرار گرفتند. همچنین این سلول‌ها در دارست آنژینات و تحت تأثیر مدیوم کندروژنیک کشت داده شدند و سلول‌های تمایز یافته در روزهای ۷ و ۱۴ جهت بررسی نشانگرهای سطحی CD14 و CD44 مورد استفاده قرار گرفتند.

یافته‌ها: بیان نشانگر CD44 در ۹۶/۸ درصد از ADSCs مشخص گردید؛ اما CD14 در ۹۸/۶ درصد از این سلول‌ها بیان نشد. نشانگر CD44 سلول‌های بنیادی تمایز یافته در دارست آنژینات در روز ۶ در ۹۶/۳ درصد. بیان این نتیجه در روز ۱۴ کاهش پیدا کرد و به ۵۲/۸ درصد رسید. بیان نشانگر CD14 در این سلول‌ها در روز ۷ و ۱۴ به ترتیب ۹۹/۷ و ۹۹/۹ درصد بود.

نتیجه‌گیری: نشانگر CD44 در سلول‌های بنیادی و سلول‌های تمایز یافته در روز ۶ با درصد بالا بیان می‌شود، اما در روز ۱۴ کاهش پیدا می‌کند. نشانگر CD14 در سلول‌های بنیادی بیان نمی‌شود، اما در سلول‌های تمایز یافته، با درصد بالا بیان می‌شود. بنابراین پیشنهاد می‌شود با توجه به تغییرات نشانگرهای پیش‌گفته طی کندروژن، می‌توان از این نشانگرها جهت تشخیص کندروژن بهره‌مند باشیم. سلول‌های تمایز یافته با کندروسیت‌های طبیعی استفاده کرد.

وازگان کلیدی: سلول‌های بنیادی مشتق از چربی، کندروژن، مهندسی بافت، نشانگر سطحی CD44، نشانگر سطحی CD14

ارجاع: زارعی روناک، هاشمی بنی بتول، اسفندیاری ابراهیم، والیانی علی، کیانپور فریبهرز، علی اکبری مریم. مقایسهٔ نشانگرهای سطحی CD14 و CD44 در سلول‌های بنیادی مشتق از چربی (ADSCs) و سلول‌های کندروسیت تمایز یافته طی فرایند کندروژن. مجله دانشکده پزشکی اصفهان ۱۳۹۳؛ ۳۲ (۲۸۴): ۳۲-۳۳.

* این مقاله حاصل پایان‌نامه‌ی دوره‌ی کارشناسی ارشد به شماره‌ی ۵۲۰۵۹۳ در دانشگاه علوم پزشکی اصفهان است.

۱- دانشجویی کارشناسی ارشد، گروه علوم تشریحی، دانشکده‌ی پزشکی و کمیته‌ی تحقیقات دانشجویی، دانشگاه علوم پزشکی اصفهان، اصفهان، ایران

۲- استادیار، گروه علوم تشریحی، دانشکده‌ی پزشکی، دانشگاه علوم پزشکی اصفهان، اصفهان، ایران

۳- استاد، گروه علوم تشریحی، دانشکده‌ی پزشکی، دانشگاه علوم پزشکی اصفهان، اصفهان، ایران

۴- کارشناس ارشد، گروه علوم تشریحی، دانشکده‌ی پزشکی، دانشگاه علوم پزشکی اصفهان، اصفهان، ایران

۵- کارشناس، گروه علوم تشریحی، دانشکده‌ی پزشکی، دانشگاه علوم پزشکی اصفهان، اصفهان، ایران

نویسنده‌ی مسؤول: دکتر بتول هاشمی بنی

Email: hashemibeni@med.mui.ac.ir

بیان نکنند (۹-۱۰).

مطالعات نشان داده اند که سلول های بنیادی مشتق از مغز استخوان (BMSCs) یا Bone marrow stromal cells (BMS)، نشانگرهای سطحی CD۷۳، CD۱۰۵، CD۹۰، CD۱۶۴، STRO۱ و CD۱۰۵ را در سطح خود بیان می کنند و قادر نشانگرهای سطحی CD۳۴ و CD۴۵ هستند (۱۱-۱۲).

مطالعاتی نیز که در زمینه نشانگرهای سطحی سلول های بنیادی مشتق از سینوویوم انجام شده اند، نشان داده اند که تفاوت مشهودی بین نشانگرهای سطحی این سلول ها و BMSCs وجود ندارد (۱۳).

سلول های بنیادی مشتق از چربی (ADSCs) یا Adipose tissue-derived stem cells شاخصی از نشانگرهای پروتئینی سطحی را بیان می کنند که شامل مولکول های چسبندگی مثل CD۲۹ و CD۴۹e، مولکول های گیرنده مثل هیالورونات (CD۴۴)، کاده رین (CD۱۴۴)، آنزیم های سطحی (CD۱۶۴)، پروتئین های ماتریکس خارج سلولی (CD۱۶۶)، مولکول های چسبندگی داخل سلولی (CD۱۰۵)، مولکول های چسبندگی عروقی (CD۱۰۶)، پروتئین های تنظیمی کمپلمان و آنتی زن های سازگاری بافتی است (۱۵-۱۶)؛ اما این سلول ها قادر نشانگرهای خون ساز از قبیل CD۱۱b، CD۱۴، CD۳۴، CD۳۳، CD۴۵ یا Human Leukocyte Antigen -DR (HLA-DR) هستند (۱۶).

مطالعه ای که در زمینه نشانگرهای سطحی سلول های بنیادی مشتق از پالپ دندان (SHED) یا Stem cells from human exfoliated deciduous teeth (teeth) انجام شده است، نشان داده است که

مقدمه

غضروف مفصلی، یک بافت همبند اختصاصی است که شامل کندروسیت ها و ماتریکس خارج سلولی است و ممکن است به دلایل مختلف از جمله استئوآرتیت دچار آسیب شود. با توجه به این که غضروف مفصلی قادر عروق خونی و اعصاب است و تغذیه ای سلول های آن فقط از طریق انتشار صورت می گیرد و همچنین تراکم سلولی آن پایین است، توانایی غضروف مفصلی در ترمیم آسیب ها ضعیف است. از این رو، امروزه کاربرد مهندسی بافت جهت جایگزین کردن بافت های آسیب دیده از جمله غضروف مفصلی مورد توجه قرار گرفته است (۱-۳). چندین سال است که از سلول های بنیادی با منشأ های مختلف جهت مهندسی بافت از جمله مهندسی غضروف استفاده می شود. سلول های بنیادی مزانشیم (Mesenchymal stromal cells) یا MSCs سلول های Nonhematopoietic و Multipotent هستند (۴). این سلول ها از منابع مختلف از جمله مغز استخوان، بافت چربی، عضله، سینوویوم، پری کندرولیم، پریوست، پالپ دندان و ... استخراج می شوند (۵-۸). امروزه جمیعت های سلولی که دارای ویژگی های زیر باشند، تحت عنوان MSC شناخته می شوند: توانایی چسبندگی به پلاستیک را داشته و از لحاظ مورفولوژی شبیه فیبروبلاست باشند. از لحاظ عملکردی توانایی بازسازی خود را داشته باشند و در شرایط کشت مناسب، توانایی تمایز به رده های مزانشیمی (استئوسمیت، کندروسیت و آدیپوسیت)، اندودرمی (هپاتوسیت) و اکتودررمی (نورون) را داشته باشند. از لحاظ فنوتیپی گروهی از نشانگرهای سطحی را در سطح خود بیان کنند و گروهی دیگر را

بنیادی نشان داده است که تنظیم فرایندهای تکثیر، آپوپتوز و تمایز تحت تأثیر مولکولهای سطحی غشای پلاسمایی است و از طریق بیان مولکولهای سطحی زیر مجموعه‌های سلولی و وضعیت‌های تمایزی مختلف توصیف می‌شود (۲۸). همان‌طور که گفته شد، مطالعات زیادی در رابطه با نشانگرهای سطحی سلول‌های بنیادی با منشأهای مختلف انجام شده است (۱۴-۱۷)؛ اما اطلاعات کمی در رابطه با بیان نشانگرهای سطح بعد از تمایز کندروژنیک وجود دارد. در مطالعه‌ی Lee و همکاران نشانگرهای سطحی BMSCs بعد از تمایز کندروژنیک مورد بررسی قرار گرفت. در این مطالعه مشخص شد بیان نشانگرهای سطحی CD۱۶۶، CD۹۰، CD۵۸، CD۱۰۵ و CD۱۰۴ در داربست آلزینات کاهش پیدا می‌کند و بیان نشانگرهای سطحی CD۱۴، CD۲۶، CD۵۴ و CD۱۰۰ در سطوح پایین حفظ می‌شود (۲۱). با این حال، در رابطه با بیان نشانگرهای سطحی بعد از تمایز کندروژنیک در ADSCs مطالعه‌ای یافت نشد. در این مطالعه به منظور افزایش اطلاعات در ارتباط با تغییر فنوتیپ، که بعد از فرایند تمایز ADSCs صورت می‌گیرد، نشانگر CD۴۴ که در این مثبت است و همچنین نشانگر CD۱۴ که در این سلول‌ها منفی است، قبل و بعد از تمایز کندروژنیک مورد بررسی قرار گرفتند.

روش‌ها

جداسازی و کشت اولیه سلول‌های بنیادی از بافت چربی

بافت چربی از چربی زیر جلدی ناحیه‌ی شکم سه نفر با کسب رضایت شخصی به دست آمد و پس از

نشانگرهای سطحی این سلول، مشابه ADSCs است؛ با این تفاوت که این سلول‌ها CD۱۴۶ و CD۵۶ را نیز در سطح خود بیان می‌کنند (۱۷). با این حال، بیان این نشانگرهای سطحی، بسته به چگونگی کشت و روش‌های تحریک، دارای تغییراتی نیز هست. مدت‌های میدی‌ی سلول‌های بنیادی مشتق از مغز استخوان (BMSCs) به عنوان اصلی‌ترین منشأ سلول‌های بنیادی برای مهندسی بافت محسوب می‌شوند (۱۵)، اما امروزه به دلیل فراوانی و استخراج آسان سلول‌های بنیادی مشتق از چربی (ADSCs)، این سلول‌ها به عنوان رمانابع اصلی جهت مهندسی بافت غضروف به صورت استردادی مورد استفاده قرار می‌گیرند (۱۸). این سلول‌ها می‌توانند به صورت In vitro کشت داده شوند و به صورت مطمئن و سریع رشد کنند (۱۹). به علاوه، مشخص شده است که ADSCs پتانسیل کندروژنیک بیشتری نسبت به BMSCs دارند (۲۰) و می‌توانند به رده‌های مختلف کندروژنیک تمایز یابند؛ در حالی که طی پاسازهای مختلف فنوتیپ آن‌ها حفظ می‌شود (۲۱). بیشتر مطالعاتی که تاکنون پیرامون کندروژن انجام شده است، روی آگاهی از وضعیت کندروژنیک مؤثر از قبیل داربست‌های سه بعدی، عوامل رشد و روش‌های تحریک مکانیکی تمرکز داشته است (۲۲-۲۵). ارزیابی تمایز کندروژنیک بر اساس بیان فنوتیپ‌های کندروسیتی از قبیل SOX9، کلژن نوع II و پروتوگلیکان‌ها است؛ اما اطلاعات کمی درباره‌ی مکانیسم‌های مولکولی، تغییرات ویژه‌ی الگوی بیان ژن‌ها و تغییرات نشانگرهای سطحی وجود دارد (۲۶-۲۷). مطالعات انجام شده در زمینه‌ی انواع سلول‌های

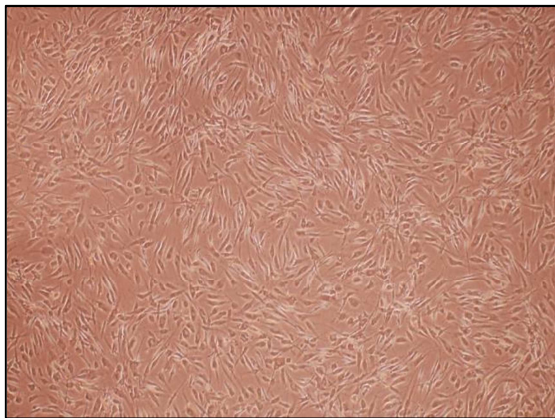
(Bovine serum albumin) آلبومین سرم گاوی (BSA) شستشو داده شد. سپس $3 \mu\text{l}$ CD44 آنتی بادی علیه نشانگرهای سطحی (Becton/Dickinson) CD14 (IQ Products) به هر لوله به طور مجزا اضافه شد. این دو آنتی بادی با ماده‌ی فلورسنت فیکواریتیرین نشان‌دار شدند. سلول‌ها در آنتی بادی به مدت ۳۰ دقیقه در تاریکی و در دمای آزمایشگاه انکوبه شدند. سپس با PBS شستشو داده شدند و پس از سانتریفیوژ به رسوب سلولی $1 \mu\text{l}$ PBS اضافه شد و سلول‌های نشان‌دار توسط دستگاه فلوسیتومتر (Becton/Dickinson, San Jose, CA) بررسی شد.

کشت در داربست آژینات و القای تمایز کندرورژنیک
برای کشت در داربست آژینات و القای تمایز کندرورژنیک فلاسک‌های حاوی سلول‌های بنیادی پاساژ سوم با PBS شستشو داده و تریپسینه شدند. پس از جدا شدن سلول‌ها سوسپانسیون سلولی تراشی نیوز شد و شمارش سلولی انجام گردید و رسوب سلولی به دست آمده با آژینات $1/5$ درصد مخلوط شد. باین موردت که به ازای هر ۵ میلیون سلول، 1 ml آژینات استفاده شد. سپس مخلوط آژینات-سلول با استفاده از سرنگ Gage ۲۲ به صورت قطره قطره به محلول کلرید کلسیم 10.5 mM $2/5 \text{ ml}$ (Merck) موجود در چاهک پلیت ۱۲ خانه ($2/5 \text{ ml}$) در هر چاهک) اضافه گردید و قطرات (Beads) ژل مانندی حاوی سلول شکل گرفتند. سپس کلرید کلسیم تخلیه شد و به بیدهای آژینات محلول کلرید سدیم $0/9$ درصد ($2/5 \text{ ml}$ در هر چاهک) اضافه شد و پس از ۱۰ دقیقه تخلیه گردید و این عمل دوباره تکرار شد. بعد از آن هم $1/5 \text{ ml}$ محیط کشت

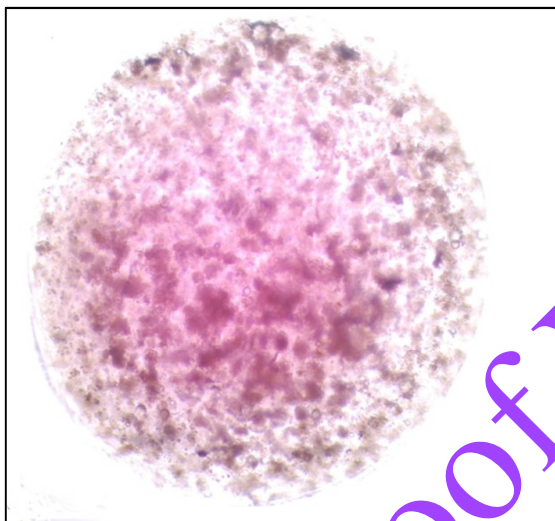
انتقال به آزمایشگاه کشت سلول، تحت شرایط استریل و در زیر هود به قطعات چند میلی‌متری بریده شد و با فسفات بافر سالین (PBS) یا (Sigma) (Phosphate buffered saline) شد و بافت همبند و عروق خونی آن جدا شد. سپس بافت چربی در محلول کلائزاز نوع IA (Sigma) به میزان 1 mg به ازای هر گرم بافت چربی قرار داده شد و در دمای 37°C به مدت ۶۰ دقیقه انکوبه شد. پس از اطمینان از تجزیه شدن کامل برای ختنی کردن آنزیم هم حجم آنزیم به کار رفته‌ی محیط کشت (Dulbecco's modified Eagle's medium) DMEM FBS (Sigma) 10°C درصد (Gibco) (Fetal bovine serum) محلول بافتی به دست آمده، سانتریفیوژ شد. رسوب سلولی به دست آمد. به رسوب سلولی به دست آمده، محیط کشت (Sigma) DMEM (Gibco) FBS اضافه شد و در 37°C ۵ درصد گسترد و در انکوباتور $T25$ درصد و رطوبت نسبی قرار داده شد. جهت تخلیه سلول‌های اضافی، بعد از ۲۴ ساعت تعویض مدیوم انجام شد. پس از آن هر $3-4$ روز یک بار تعویض مدیوم انجام شد. بعد از پر شدن کف فلاسک‌ها، سلول‌ها به چند فلاسک جدید انتقال پیدا کردند و سلول‌های پاساژ دوم جهت فلوسیتومتری و بررسی نشانگرهای سطحی CD44 و CD14 مورد استفاده قرار گرفتند.

تکنیک فلوسیتومتری

تعداد 1×10^5 سلول در لوله‌های فلوسیتومتری ریخته شد و توسط PBS (Sigma) حاوی $0/5$ درصد



شکل ۱. تصویر سلول‌های بنیادی مشتق از چربی پاساژ دوم در کشت تک لایه‌ای $\times 40$



شکل ۲. سلول‌های یالی کشت داده شده در داربست آلژینات در مدیم کندروژنیک

این مطالعه با استفاده از استخراج سلول‌های بنیادی جدا شده از بافت چربی سه نفر انجام شد و نتایج به دست آمده از هر سه یکسان بود. بر اساس نتایج به دست آمده از فلوسیتوتری ADSCs، نشانگر سطحی CD44 را در سطوح بالایی بیان می‌کند و میانگین بروز این نشانگر در این سلول‌ها، ۹۶/۸ درصد به دست آمده است. این نشانگر همچنین در سلول‌های بنیادی تمایز یافته در داربست آلژینات

(Sigma) DMEM-high glucose چاهک اضافه و تخلیه شد. در نهایت، به هر چاهک که حاوی بیدهای آلژینات بود، ۲ ml مدیوم DMEM highglucose (Sigma) ITS (Sigma) TGF- β ۳ (۱۰ ng/ml) (Gibco) ۱ درصد (transferrin-sodium Ascorbate۲-Phosphate) ASP (۵۰ μ g/ml) (Sigma) ۱ درصد BSA (Gibco) ۱ درصد Penicillin/streptomycine (۵/۳ μ g/ml) (Sigma) Dexamethasone $10^{-۷}$ M (Sigma) Linoleic acid اضافه شد و در انکوباتور 37°C و ۵ درصد CO₂ نگهداری و هر ۴ روز، مدیوم آن تعویض گردید.

یک گروه از این سلول‌ها پس از ۷ روز و گروه دیگر پس از ۱۴ روز با استفاده از سدیم سیترات از آلژینات خارج گردید؛ به این صورت که ابتدا مدیوم رویی تخلیه و سپس ۲ بار با PBS شستشو داده شد و به هر چاهک ۱/۵ ml سدیم سیترات اضافه شد. پس از کمی پیت کردن، بیدها تجزیه و سلول‌ها شناور شدند و سانتریفیوژ و شمارش سلولی انجام شد و از این سلول‌ها جهت بررسی نشانگرهای CD14 و CD44 از طریق فلوسیتوتری (Becton Dickinson, San Jose, CA) استفاده شد.

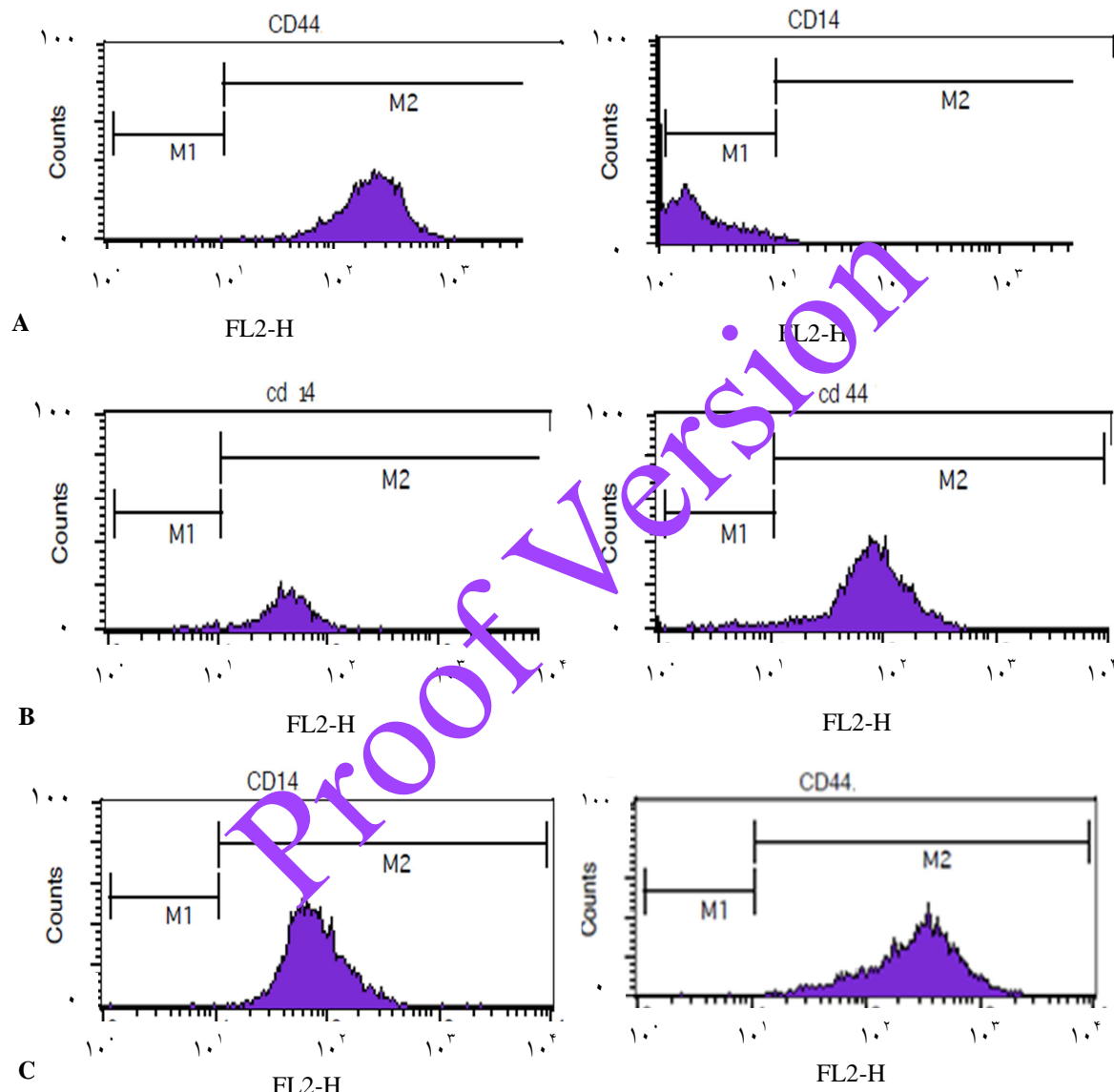
یافته‌ها

در بررسی سلول‌های بنیادی مشتق از چربی با استفاده از میکروسکوپ اینورت سلول‌های پاساژ دوم در کشت تک لایه‌ای، دوکی شکل، دارای زواید سیتوپلاسمی و به صورت یکنواخت قابل مشاهده بودند (شکل ۱).

نشانگر در سلول‌های بنیادی تمایز یافته در داربست آژینات بیان شد و میانگین بروز آن در روز ۷ و روز ۱۴ بررسی شد که به ترتیب ۹۹/۷ و ۹۹/۹ درصد بود (شکل ۳).

(شکل ۲) در روز ۷ و روز ۱۴ بررسی شد که میانگین بروز آن به ترتیب ۹۶/۳ و ۵۲/۸ درصد بود.

نشانگر سطحی CD14 نیز در ADSCs بررسی شد و در ۹۸/۶ درصد از این سلول‌ها بیان نشد، اما این



شکل ۳. (A) در ADSCs (Adipose tissue-derived stem cells) نشانگر سطحی CD44 در ۹۶/۸ درصد از سلول‌ها بیان شد، اما CD14 در ۹۸/۶ درصد از این سلول‌ها بیان نشد. (B) در کندروسیت‌های تمایز یافته در داربست آژینات در روز ۷ نشانگر سطحی CD44 در ۹۶/۳ درصد از سلول‌ها بیان شد و نشانگر سطحی CD14 در ۹۹/۷ درصد از سلول‌ها بیان شد. (C) در کندروسیت‌های تمایز یافته در داربست آژینات در روز ۱۴، نشانگر سطحی CD14 در ۹۹/۹ درصد از سلول‌ها بیان شد و نشانگر سطحی CD44 در ۵۲/۸ درصد از سلول‌ها بیان شد.

کرد که با نتایج Lee و همکاران موافق بود (۲۱). در مطالعه‌ی آن‌ها نشانگر CD۴۴ در سلول‌های بنیادی مشتق از مغز استخوان (BMSCs) در پاساژ سوم در ۹۸/۵۲ درصد سلول‌ها بیان شد و میزان بیان آن در سلول‌های بنیادی کشت داده شده در داربست آثینات، پس از ۲ هفته ۴۲/۷۱ درصد بود که مشابه با نتایج مطالعه‌ی حاضر در روز ۱۴ بود.

در مطالعه‌ی Diaz-Romero و همکاران مشخص شد که CD۴۴ در سطح کندروسیت‌های طبیعی انسان (Human articular chondrocytes HAC) یا CD۴۴ در سلول‌های بنیادی ایجاد شده است (۳۷). بنابراین می‌شود و بیان آن ۲۴ ساعت پس از جدا شدن، ۹۷/۶۱ درصد گزارش شده است (۳۷). مطالعه‌ی Diaz-Romero نتوان نتیجه گرفت که نشانگر سطحی سلول‌های بنیادی است؛ به علاوه، این نشانگر در کندروسیت‌های طبیعی نیز بیان می‌شود، اما بیان آن طی تمايز کندروژنیک ADSC کاهش می‌یابد. این امر می‌تراند نشانگر این باشد که محیط کشتی که در آتمایشگر به صورت مصنوعی جهت کندروژن فراهم می‌شود به مادر کامل مشابه حالت طبیعی آن در موجود زنده است و این موضوع نیاز به تحقیقات بیشتری دارد.

CD۱۴ رسپتور نیپوپلی‌ساکارید است و در ماکروفازها و مونوцит‌ها بیان می‌شود، اما این نشانگر در ADSCs بیان نمی‌گردد (۳۸). در مطالعه‌ی Diaz-Romero و همکاران مشخص شد که این نشانگر در کندروسیت‌های طبیعی انسان (HAC) که ۲۴ ساعت از جدا شدن آن‌ها می‌گذرد، بیان می‌شود؛ اما بیان آن بعد از ۲ هفته به طور قابل توجهی کاهش می‌یابد که به علت تمايز‌زدایی (Dedifferentiation) سلول‌ها طی کشت است (۳۷).

بحث

یکی از ویژگی‌های اساسی که برای سلول‌های بنیادی مطرح می‌شود، بیان نشانگرهای سطحی خاص در سطح این سلول‌ها است (۲۹-۳۰). مطالعات زیادی در این باره انجام شده و مشخص گردیده است که گروهی از این نشانگرهای سطحی در سطح این سلول‌ها بیان می‌شوند و گروهی دیگر بیان نمی‌شوند (۳۱-۳۳). یکی از این نشانگرهای سطحی مثبت در سلول‌های بنیادی، CD۴۴ است (۱۴). CD۴۴ رسپتور هیالورونان است و نقش مهمی در تکامل ماتریکس خارج سلولی اراد و به عنوان یک رابط ضروری در حفظ سراکم هیالورونان-پروتئوگلیکان دارد (۱۵).

این نشانگر در مراحل اولیه کندروژن در گام متراکم شدن (Condensation) سلول‌های بنیادی، بیان می‌شود و نقش مهمی در کندروژن دارد (۳۴). همچنین جمعیت‌های سلولی دارای GAG، CD۴۴، CD۱۴، II بیشتری تولید می‌کنند (۹). در این مطالعه، CD۴۴ در ADSCs در سطح بالایی بیان شد و با مطالعات قبلی مطابقت دارد. در مطالعه‌ای که هاشمی بنی و همکاران روی ADSCs انجام دادند، این نشانگر در ۸۷/۱۴ درصد سلول‌ها بیان شد (۳۵). همچنین در مطالعه‌ی علی‌پور و همکاران CD۴۴ هم در ADSCs و هم SHED در سطوح بالایی بیان شد (۱۷). در مطالعه‌ای که Jo و همکاران روی سلول‌های بنیادی مشتق از سینوویوم انجام دادند، CD۴۴ در ۹۰/۵۳ درصد سلول‌ها بیان شد (۳۶). در مطالعه‌ی حاضر CD۴۴ در سلول‌های بنیادی تمايز یافته در داربست آثینات در روز ۷ در سطوح بالایی بیان شد، اما بیان آن در روز ۱۴ کاهش پیدا

تشخیص کندروسیت‌های تمایز یافته در کنار روش‌های دیگر استفاده کرد (۳۷).

با توجه به این که تعداد زیادی از نشانگرهای سطحی در سطح ADSCs و HAC بیان می‌شود، برای مشخص کردن تغییرات تمام این نشانگرهای طی فرآیند کندرورژنیز نیاز به مطالعات پیشتری است.

یافته‌ها

از معاونت تحقیقات و فناوری دانشگاه علوم پزشکی
اصفهان جهت حمایت و تأمین بودجه این طرح کمال
تشکر و قدردانی را می‌نماییم.

بنابراین انتظار می‌رود طی تمایز کندرورژنیک ADSCs و القای کندرورژن، این نشانگر در سطح کندرورسیت‌های تمایز یافته بیان شود. در مطالعه‌ی حاضر CD14 در ADSCs در ۹۸/۶ درصد از سلول‌ها بیان نشد که با مطالعات J0 و همکاران (۳۶)، هاشمی بنی و همکاران (۳۵) و علی پور و همکاران (۱۷) موافق بود؛ اما این نشانگر در سلول‌های تمایز یافته در داربست آلترينات در روز ۷ و ۱۴ در سطوح بالایی بیان شد و همان‌طور که گفته شد، در مطالعات Diaz-Romero و همکاران مشخص شد که نشانگری است که در $\text{CD}14$ یوت‌های طبیعی بیان می‌شود. بنابراین می‌توان از این نشانگر برای

References

- NOT FOR PUBLICATION**

 - Hardingham T, Tew S, Murdoch A. Tissue engineering: chondrocytes and cartilage. *Arthritis Res* 2002; 4(Suppl 3): S63-S68.
 - Mansour JM, Mow VC. The permeability of articular cartilage under compressive strain and at high pressures. *J Bone Joint Surg Am* 1976; 58(4): 509-16.
 - Campbell DD, Pei M. Surface markers for chondrogenic determination: a highlight of synovium-derived stem cells. *Cells* 2012; 1(4): 1107-20.
 - Josh F, Kobe K, Tohita M, Tanaka R, Suzuki K, Ono K, et al. Accelerated and safe proliferation of human adipose-derived stem cells in medium supplemented with human serum. *J Nippon Med Sch* 2012; 79(6): 444-52.
 - Al-Nbaheen M, Vishnubalaji R, Ali D, Bouslimi A, Al-Jassir F, Megges M, et al. Human stromal (mesenchymal) stem cells from bone marrow, adipose tissue and skin exhibit differences in molecular phenotype and differentiation potential. *Stem Cell Rev* 2013; 9(1): 32-43.
 - Hutmacher DW, Sittinger M. Periosteal cells in bone tissue engineering. *Tissue Eng* 2003; 9(Suppl 1): S45-S64.
 - Cao B, Zheng B, Jankowski RJ, Kimura S, Ikezawa M, Deasy B, et al. Muscle stem cells differentiate into haematopoietic lineages but retain myogenic potential. *Nat Cell Biol* 2003; 5(7): 640-6.
 - De Bari C, Dell'Accio F, Tylzanowski P, Luyten FP. Multipotent mesenchymal stem cells from adult human synovial membrane. *Arthritis Rheum* 2001; 44(8): 1928-42.
 - Chen Y, Shao JZ, Xiang LX, Dong XJ, Zhang GR. Mesenchymal stem cells: a promising candidate in regenerative medicine. *Int J Biochem Cell Biol* 2008; 40(5): 815-20.
 - Crop M, Baan C, Weimar W, Hoogduijn M. Potential of mesenchymal stem cells as immune therapy in solid-organ transplantation. *Transpl Int* 2009; 22(4): 365-76.
 - Jones E, McGonagle D. Human bone marrow mesenchymal stem cells in vivo. *Rheumatology (Oxford)* 2008; 47(2): 126-31.
 - Phinney DG, Prockop DJ. Concise review: mesenchymal stem/multipotent stromal cells: the state of transdifferentiation and modes of tissue repair--current views. *Stem Cells* 2007; 25(11): 2896-902.
 - Djouad F, Bony C, Haupl T, Uze G, Lahllou N, Louis-Plence P, et al. Transcriptional profiles discriminate bone marrow-derived and synovium-derived mesenchymal stem cells. *Arthritis Res Ther* 2005; 7(6): R1304-R1315.
 - Gimble J, Guilak F. Adipose-derived adult stem cells: isolation, characterization, and differentiation potential. *Cytotherapy* 2003; 5(5): 362-9.

- 15.** Strem BM, Hicok KC, Zhu M, Wulur I, Alfonso Z, Schreiber RE, et al. Multipotential differentiation of adipose tissue-derived stem cells. *Keio J Med* 2005; 54(3): 132-41.
- 16.** Dominici M, Le BK, Mueller I, Slaper-Cortenbach I, Marini F, Krause D, et al. Minimal criteria for defining multipotent mesenchymal stromal cells. The International Society for Cellular Therapy position statement. *Cytotherapy* 2006; 8(4): 315-7.
- 17.** Alipour R, Sadeghi F, Hashemi-Beni B, Zarkesh-Esfahani SH, Heydari F, Mousavi SB, et al. Phenotypic characterizations and comparison of adult dental stem cells with adipose-derived stem cells. *Int J Prev Med* 2010; 1(3): 164-71.
- 18.** da Silva ML, Chagastelles PC, Nardi NB. Mesenchymal stem cells reside in virtually all post-natal organs and tissues. *J Cell Sci* 2006; 119(Pt 11): 2204-13.
- 19.** Lin TM, Tsai JL, Lin SD, Lai CS, Chang CC. Accelerated growth and prolonged lifespan of adipose tissue-derived human mesenchymal stem cells in a medium using reduced calcium and antioxidants. *Stem Cells Dev* 2005; 14(1): 92-102.
- 20.** De Ugarte DA, Morizono K, Elbarbary A, Alfonso Z, Zuk PA, Zhu M, et al. Comparison of multi-lineage cells from human adipose tissue and bone marrow. *Cells Tissues Organs* 2003; 174(3): 101-9.
- 21.** Lee HJ, Choi BH, Min BH, Park SR. Changes in surface markers of human mesenchymal stem cells during the chondrogenic differentiation and dedifferentiation processes *in vitro*. *Arthritis Rheum* 2009; 60(8): 2325-35.
- 22.** Angele P, Yoo JU, Smith C, Mansouri J, Jepsen KJ, Nerlich M, et al. Cyclical hydrostatic pressure enhances the chondrogenic phenotype of human mesenchymal progenitor cells differentiated *in vitro*. *J Orthop Res* 2003; 21(3): 451-7.
- 23.** Indrawattana N, Chen G, Tadokoro M, Shann LH, Ohgushi H, Tateishi T, et al. Growth factor combination for chondrogenic induction from human mesenchymal stem cell. *Biochem Biophys Res Commun* 2004; 320(3): 914-9.
- 24.** Lee HJ, Choi BH, Min BH, Son YS, Park SR. Low-intensity ultrasound stimulation enhances chondrogenic differentiation in alginate culture of mesenchymal stem cells. *Artif Organs* 2006; 30(9): 707-15.
- 25.** Goldring MB, Tsuchimochi K, Ijiri K. The control of chondrogenesis. *J Cell Biochem* 2006; 97(1): 33-44.
- 26.** Sekiya I, Vuoristo JT, Larson BL, Prockop DJ. In vitro cartilage formation by human adult stem cells from bone marrow stroma defines the sequence of cellular and molecular events during chondrogenesis. *Proc Natl Acad Sci U S A* 2002; 99(7): 4397-402.
- 27.** Ylostalo J, Smith JR, Pochampally RR, Matz R, Sekiya I, Larson BL, et al. Use of differentiating adult stem cells (marrow stromal cells) to identify new downstream target genes for transcription factors. *Stem Cells* 2006; 24(3): 642-52.
- 28.** Diaz-Romero J, Gaillard JP, Grogan SP, Nesic D, Trub T, Mainil-Varlet P. Immunophenotypic analysis of human articular chondrocytes: changes in surface markers associated with cell expansion in monolayer culture. *J Cell Physiol* 2005; 202(3): 731-42.
- 29.** Tapp H, Hanley EN, Jr., Patt JC, Gruber HE. Adipose-derived stem cells: characterization and current application in orthopaedic tissue repair. *Exp Biol Med (Maywood)* 2009; 234(1): 1-9.
- 30.** Pilz GA, Braun J, Ulrich C, Felka T, Warstat K, Ruh M, et al. Human mesenchymal stromal cells express CD14 cross-reactive epitopes. *Cytometry A* 2011; 79(8): 635-45.
- 31.** Van M, Breuls RG, Schouten TE, Jurgens W, Brinkkes HJ, Schuurhuis GJ, et al. Phenotypical and functional characterization of freshly isolated adipose tissue-derived stem cells. *Stem Cells Dev* 2007; 16(1): 91-104.
- 32.** Kolf CM, Cho E, Tuan RS. Mesenchymal stromal cells. Biology of adult mesenchymal stem cells: regulation of niche, self-renewal and differentiation. *Arthritis Res Ther* 2007; 9(1): 204.
- 33.** Mitchell JB, McIntosh K, Zvonic S, Garrett S, Floyd ZE, Kloster A, et al. Immunophenotype of human adipose-derived cells: temporal changes in stromal-associated and stem cell-associated markers. *Stem Cells* 2006; 24(2): 376-85.
- 34.** Knudson CB, Knudson W. Hyaluronan and CD44: modulators of chondrocyte metabolism. *Clin Orthop Relat Res* 2004; (427 Suppl): S152-S162.
- 35.** Hashemibeni B, Razavi Sh, Esfandiary E, Salehi M, Karbasi S, Mardani M, et al. The effect of BMP-6 growth factor on differentiation of adipose-derived stem cells into chondrocyte in pellet culture system. *J Isfahan Med Sch* 2009; 27(100): 618-31. [In Persian].
- 36.** Jo CH, Ahn HJ, Kim HJ, Seong SC, Lee MC. Surface characterization and chondrogenic differentiation of mesenchymal stromal cells derived from synovium. *Cytotherapy* 2007; 9(4): 316-27.
- 37.** Diaz-Romero J, Nesic D, Grogan SP, Heini P, Mainil-Varlet P. Immunophenotypic changes of human articular chondrocytes during monolayer

culture reflect bona fide dedifferentiation rather than amplification of progenitor cells. *J Cell Physiol* 2008; 214(1): 75-83.

38. Ziegler-Heitbrock HW, Ulevitch RJ. CD14: cell surface receptor and differentiation marker. *Immunol Today* 1993; 14(3): 121-5.

Proof Version